

УДК 535.214

В. Б. БРАГИНСКИЙ, В. А. КУЗНЕЦОВ, В. Н. РУДЕНКО

МЕХАНИЧЕСКИЙ ОСЦИЛЛЯТОР В СВЕТОВОМ ПОТОКЕ

Проведено экспериментальное исследование эффектов световой жесткости и радиометрической колебательной неустойчивости.

Высокая чувствительность при измерении малых сил (или моментов сил) в макроскопических опытах может быть достигнута, если существенно уменьшить диссипативную связь между пробным телом и лабораторией (см. [1]). При создании высокочастотных механических осцилляторов, помещенных в вакуум, возникают эффекты, существенно влияющие на динамические характеристики этих осцилляторов. Двум из этих эффектов и посвящена настоящая работа.

§ 1. Эффект световой жесткости

Неоднородный световой поток вносит в линейный механический осциллятор дифференциальную жесткость

$$K_{CB} \approx \left(\frac{1+R}{c} \right) \frac{\partial N(r)}{\partial r},$$

где R — коэффициент отражения массы осциллятора, $N(r)$ — мощность светового потока, c — скорость света. Добавочную дифференциальную жесткость, вызванную световым давлением, можно получить и в однородном потоке, но для крутильного осциллятора. Изменение периода собственных колебаний осциллятора, вызванное этим эффектом, легко наблюдать в лабораторных условиях.

На рис. 1 изображена принципиальная схема (вид сверху), использованная для измерения эффекта световой жесткости. Крутильный осциллятор представлял собой легкую гантель из кварца (длиной 12 см и диаметром 100 мкм), на концах гантели были укреплены две лопатки (1 см × 1 см) из алюминиевой фольги. Такая гантель подвешивалась в вакуированном объеме на вольфрамовой нити (диаметром 6 мкм и 30 см длиной). Вакуум в колбе мог варьироваться от $2 \cdot 10^{-4}$ до $1 \cdot 10^{-7}$ мм рт. ст. Ясно, что однородные световые потоки в направлении aa' создают отрицательную световую жесткость, а в направлении bb' — положительную.

На рис. 2 представлена зависимость периода собственных колебаний (τ_0) этого маятника от давления при разных плотностях световых потоков. Направление потоков bb' , т. е. в маятник привносилась положительная жесткость. Кривой 1 соответствует плотности потоков, равная нулю, кривым 2, 3, 4, 5 — соответственно 0,2; 0,5; 1,3 и 1,7 $вт/см^2$. Как видно из рис. 2, без световых потоков период собственных колебаний не зависит от давления вплоть до $2 \cdot 10^{-4}$ мм рт. ст. и составляет около $\tau_0 \approx 380$ сек. С ростом мощности светового потока период сокращается вплоть до $|\tau|_{св} \approx 60$ сек (при плотности потока

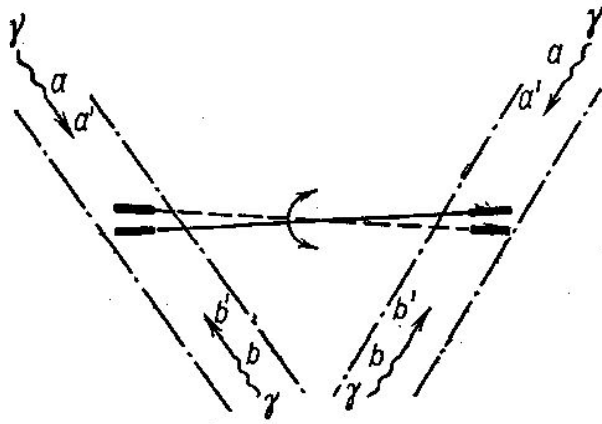


Рис. 1

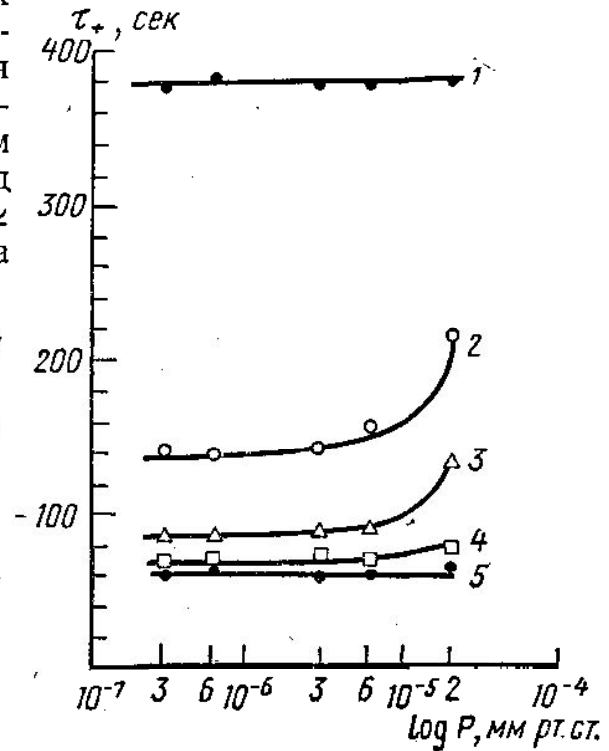


Рис. 2

$W \approx 1,7$ $вт/см^2$). Это означает, в частности, что максимальная световая жесткость в наших условиях больше, чем крутильная жесткость нити в $[\tau_0/(\tau_0)_{св}]^2 \approx 40$ раз. Период собственных колебаний практически не зависит от давления за исключением правого края рис. 2 (с разрежением хуже 10^{-5} мм рт. ст., где существенны радиометрические силы).

§ 2. Время релаксации осциллятора со световой жесткостью

При измерении времени релаксации исследуемого крутильного маятника было обнаружено, что оно сильно зависит от плотности потока и давления. Последнее позволило связать эту зависимость с радиометрическими силами. Перепад температур на освещенной и теневой сторонах лопасти маятника обуславливает избыточное (радиометрическое) давление газовых молекул на лопасть, совпадающее по знаку со световым давлением. В экспериментальной схеме (см. рис. 1) радиометрические силы также должны привести к возвращающим моментам, т. е. к появлению радиометрической жесткости, поскольку полный поток излучения, падающий на лопасть, зависит от угла поворота маятника. По порядку величины радиометрическое давление сравнимо со световым лишь при разрежении не лучше 10^{-4} мм рт. ст. (при толщине лопасти $\leq 10^{-2}$ см), поэтому вклад радиометрической жесткости в величину периода мал практически всюду в исследуемом диапазоне давлений. Существенным, однако, оказывается то, что радиометрическая жесткость вносится в исследуемую колебательную систему с запаздыванием, величина которого определяется инерционностью процессов установле-

ния температуры на лопасти маятника. Эффект запаздывания должен привести к изменению декремента колебаний маятника. Остановимся предварительно на простой феноменологической модели этого явления. Уравнение крутильных колебаний маятника с дополнительной запаздывающей жесткостью имеет вид

$$\ddot{\varphi}(t) + 2\delta_0\dot{\varphi}(t) + \omega_0^2\varphi(t) + \theta^2\varphi(t - \tau) = 0. \quad (1)$$

Здесь $\varphi(t)$ — угол поворота, δ_0 — показатель собственного затухания в отсутствие радиометрического эффекта, ω_0 — собственная частота, определяемая, как показано выше, световой жесткостью; наконец последний член в уравнении (1) описывает действие запаздывающей радиометрической жесткости f_τ ; $\theta^2 = f_\tau/I \sim P$, где I — момент инерции маятника, а τ — величина запаздывания.

Подстановка решения в виде $\varphi(t) = e^{(-\delta + i\omega)t}$ дает систему трансцендентных уравнений для δ и ω — новых показателей затухания и частоты с учетом радиометрических сил

$$\delta = \delta_0 - \theta^2 e^{\delta\tau} \frac{\sin \omega\tau}{2\omega},$$

$$\omega^2 = \omega_0^2 - \delta^2 + \theta^2 e^{\delta\tau} \left(\cos \omega\tau - \frac{\delta}{\omega} \sin \omega\tau \right). \quad (2)$$

При наложении дополнительных условий $\delta_0^2 \ll \omega_0^2$; $\theta^2 \ll \omega_0^2$; $\delta\tau \ll 1$, достаточно хорошо отвечающих условиям эксперимента в области давлений меньше $5 \cdot 10^{-4}$ мм рт. ст., система (2) упрощается:

$$\begin{cases} \frac{\delta}{\delta_0} \simeq 1 - \frac{\theta^2}{2\omega_0\delta_0} \sin \omega_0\tau \\ \omega^2 \simeq \omega_0^2 \end{cases} \quad (3)$$

Для зоны, граничной с давлением $p \sim 5 \cdot 10^{-4}$ мм рт. ст., $\theta^2 \ll \omega_0^2$ и следует учесть поправку к частоте во втором уравнении системы (3):

$$\omega^2 \simeq \omega_0^2 + \theta^2 \cos \omega_0\tau. \quad (4)$$

Уравнения (3) и (4) качественно описывают влияние запаздывающей радиометрической жесткости на характеристические времена исследуемой колебательной системы. Как видно из (3) и (4), поправки к частоте и к показателю затухания могут иметь любой знак в зависимости от соотношения между периодом собственных колебаний и величиной запаздывания. По абсолютной величине поправка к частоте ω_0 мала и для достаточно хорошего вакуума практически исчезает. В то же время поправка к показателю затухания тем более существенна, чем меньше собственное затухание δ_0 и для систем с большой постоянной времени может иметь значение до весьма высоких степеней разрежения. Качественно зависимость $\frac{\delta}{\delta_0} = f(p)$ при постоянной интенсивности световых потоков должна описываться (см. (3)) прямыми, сходящимися к 1 при $p \rightarrow 0$, причем угол наклона к оси абсцисс должен определяться величиной запаздывания τ .

Перейдем к обсуждению результатов измерений. Графики (рис. 2) получены для маятника, у которого лопасти были изготовлены из алюминиевой фольги толщиной 100 мкн. Небольшое увеличение периода колебаний на кривых (2—5) в области давлений ($10^{-4} \div 10^{-5}$ мм рт. ст.)

связано с радиометрическими поправками к собственной частоте в соответствии с (4).

На рис. 3 для того же маятника представлены кривые зависимости отношения δ/δ_0 от степени разряжения для трех различных интенсивностей световых потоков 0,2; 0,5; 1,7 $\text{вт}\cdot\text{см}^2$. Всюду в рассматриваемой области давлений величина δ оказывается отрицательной, т. е. радиометрические силы переводят маятник из декрементного режима в инкрементный.

Из уравнения (3) следует, что такой режим возможен, если выполнено условие $\sin \omega_0 t > 0$. Экстре-

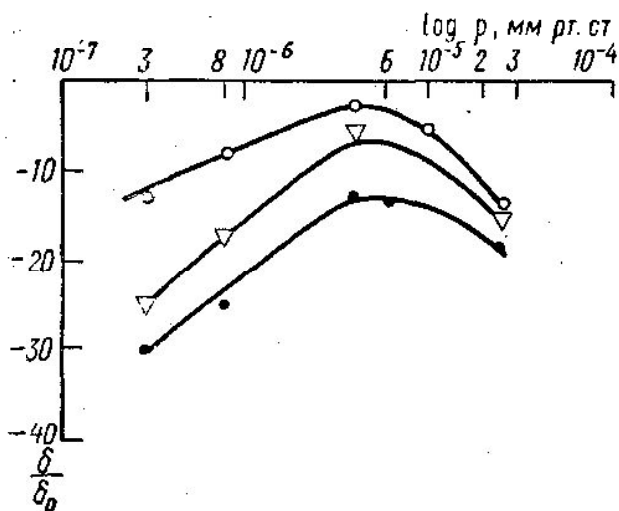


Рис. 3

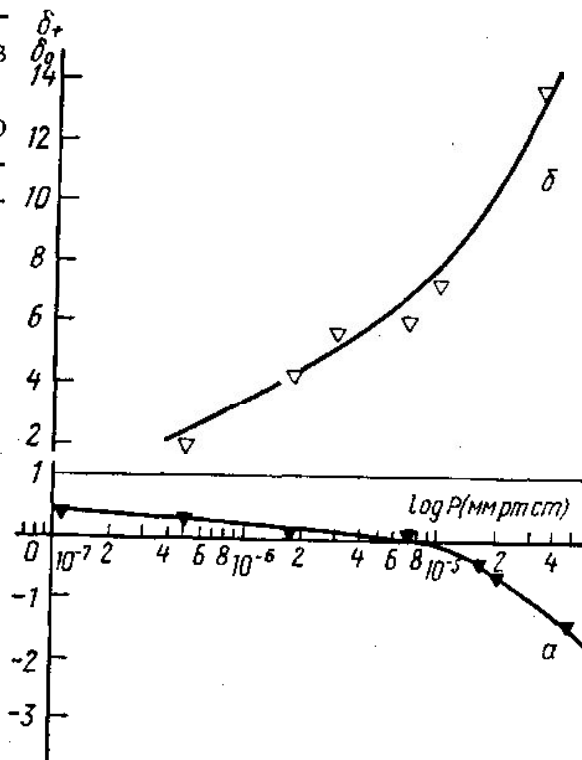


Рис. 4

мальный характер кривых (вместо ожидаемой линейной зависимости) связан с уменьшением собственного затухания δ_0 по мере улучшения вакуума. Действительно, затухание, вносимое вязкостью нити подвеса, пренебрежимо мало — соответствующее $\delta_{\text{мех}} \approx 10^{-9} \text{ сек}^{-1}$; реально измеряемое значение δ_0 определялось только трением об остаточный газ и менялось в исследуемом диапазоне разряжений в пределах $(10^{-3} \div 10^{-5}) \text{ сек}^{-1}$. В последующих экспериментах δ_0 было зафиксировано с помощью системы постоянных магнитов, расположенных вблизи лопастей маятника, затухание за счет вихревых потерь в лопасти сохранялось на уровне $\delta_0 \approx 10^{-3} \text{ сек}^{-1}$. Полученная в этих условиях зависимость $\left(\frac{\delta}{\delta_0}\right) = f(p)$ (кривая *a* рис. 4) соответствует качественной картине, следующей из уравнения (3). По мере улучшения вакуума отношение $\left(\frac{\delta}{\delta_0}\right)$ стремится к 1; нелинейность кривой связана только с логарифмическим масштабом по оси давлений. Из (3) следует, что при выполнении условия $\sin \omega_0 t > 0$ улучшение вакуума должно привести к смене знака δ . Действительно, наблюдается такой переход от инкрементного режима к декрементному (для данной модели маятника затухание обращается в нуль вблизи давления $p \approx 9 \cdot 10^{-6} \text{ мм рт. ст.}$). В этой же точке радиометрическая подкачка энергии компенсирует собственное затухание маятника. Если (см. (3)) $\sin \omega_0 t < 0$, то должен наблюдаться только декрементный режим. Последнее условие можно выполнить, подбирая необходимое соотношение между периодом и величиной запаздывания. Экспериментально такой

режим был получен на маятнике с толщиной лопастей ~ 15 мкн и периодом ~ 32 сек (при мощности $\omega \simeq 1,5$ вт). Зависимость $\left(\frac{\delta}{\delta_0}\right) = f(p)$

для этого маятника представлена кривой б рис. 4.

Из экспериментальных данных (см. рис. 2, 3, 4) было грубо оценено время запаздывания τ с помощью уравнения (3). Для маятника с лопастями толщиной ~ 100 мкн оценка $\tau \simeq (1 \div 3) \cdot 10^2$ сек (при вычислениях предполагалось, что запаздывание есть функция только теплотехнических свойств маятника и окружающей среды, а также что величина τ пропорциональна толщине лопасти). Такое значение запаздывания не противоречит теоретической оценке, сделанной на основе решения соответствующей задачи теплопроводности.

Из паразитных эффектов в данном эксперименте наиболее опасно гажение с нагретой лопасти маятника. Для уменьшения этого эффекта перед измерениями лопасти прогревались в вакууме до тех пор, пока вакуометры переставали регистрировать изменение вакуума. Кроме того, этот эффект должен давать лишь постоянный вклад в δ_0 , практически не зависящий от давления в исследуемом диапазоне разряжений.

В целом экспериментальные результаты не противоречат радиометрической природе эффекта изменения времени релаксации осциллятора со световой жесткостью.

§ 3. Радиометрическая неустойчивость в резонаторе Фабри—Перо

Как показано в работе [2], использование оптического индикатора, в частности резонатора Фабри—Перо, для измерения малых смещений пробной массы (жестко связанной с одним из зеркал резонатора) сопровождается обратным динамическим воздействием системы индикации на пробное тело. В результате такого воздействия пробное тело может потерять устойчивость, если рабочая точка расположена на правом склоне резонансной кривой резонатора, а собственное трение пробной массы достаточно мало. Этот эффект сильно ограничивал бы возможности резонатора Фабри—Перо в качестве индикатора малых смещений, но, к счастью, он отсутствует на левом склоне резонансной кривой.

Реально в лабораторных экспериментах резонатор находится в среде остаточных газов. В связи с этим следует ожидать, что потеря устойчивости пробного тела (зеркала) может также возникнуть под внешним воздействием радиометрических сил по аналогии с эффектами, исследованными в предыдущем параграфе.

При механических колебаниях зеркала меняется интенсивность электромагнитного излучения внутри резонатора; соответственно меняется температура на поверхностях зеркала, но с запаздыванием, определяемым тепловой инерционностью. Радиометрическое давление и в этом случае создает запаздывающую жесткость, а следовательно, изменяется декремент механической колебательной системы. Поправка к показателю затухания $\Delta\delta$ дается уравнением (3), в котором под ω_0 нужно подразумевать частоту механических колебаний зеркала ω_M , а $\theta^2 = K_r/m$, где K_r — радиометрическая жесткость, m — масса зеркала. Простой расчет приводит к следующему выражению для $\Delta\delta$:

$$\Delta\delta \simeq (\delta - \delta_0) \simeq \mp P \frac{\pi W_0 h}{T_0 \lambda k N} \frac{\sin \omega_M \tau}{\omega_M}. \quad (5)$$

Здесь P — давление остаточных газов, W_0 — мощность, вводимая в резонатор;

натор, λ — длина волны излучения, h — толщина зеркала, κ — теплопроводность, T_0 — температура окружающей среды. Положительный знак в выражении (4) соответствует настройке на правый склон резонансной кривой, отрицательный — на левый. Неустойчивость возникает в случае, когда поправка к показателю затухания отрицательна и по абсолютной величине превосходит собственное затухание зеркала $\delta_0 = \omega_M / 2Q_M$, Q_M — механическая добротность зеркала. Как видно из (5), такая ситуация может быть реализована как на левом, так и на правом склоне резонансной кривой зависимости от знака $\sin \omega_M \tau$, который при фиксированном ω_M меняется с изменением толщины зеркала (а следовательно, запаздывания τ). Если поправка $\Delta\delta$ отрицательна, то критическое значение давления, выше которого наступает неустойчивость, определяется из условия $\Delta\delta = \delta_0$, т. е.

$$P_{кр} \simeq \left| \frac{T_0 \lambda \kappa t}{\pi \omega_0 h} \frac{\omega_{мех}^2}{2Q_M \sin \omega_M \tau} \right|. \quad (6)$$

Например, для $m = 10$ г, $\omega_M = 6$ рад/сек; $h = 1$ см, $\lambda = 6 \cdot 10^{-5}$ см; $\omega_0 = 3000$ мвт; $Q_{мех} = 10^5$; $T_0 = 300^\circ\text{К}$; $\kappa = 5 \cdot 10^{14}$ эрг/сек·см·град (стекло), выражение (6) дает $p_{кр} \sim 10^{-10}$ мм рт. ст. (при $\sin \omega_M \tau \simeq 1$), т. е. требования к вакууму могут быть весьма высоки при достаточно низкой частоте механических колебаний.

В заключение авторы выражают благодарность М. Н. Куклачеву за помощь в проведении измерений.

ЛИТЕРАТУРА

1. Брагинский В. Б. «Вестн. Моск. ун-та», физ., астроном., № 2, 65, 1965.
2. Брагинский В. Б., Манукин А. Б. ЖЭТФ, 52, 1967.

Поступила в редакцию
1.6.1970 г.

Кафедра
физики колебаний